

УДК 541.8

## К ОЦЕНКЕ СОСТОЯНИЯ СОБСТВЕННОГО МАКРОСКОПИЧЕСКОГО СИЛОВОГО ПОЛЯ ЖИДКОСТЕЙ

В.Н. Карцев<sup>1</sup>, С.Н. Штыков<sup>2</sup>, К.Е. Панкин<sup>3</sup>

<sup>1</sup>ООО "Техносферная безопасность", Саратов, Россия

E-mail: kartsev1948@mail.ru

<sup>2</sup>Саратовский национальный исследовательский государственный университет им. Н.Г. Чернышевского, Россия

E-mail: shtykovsn@mail.ru

<sup>3</sup>Саратовский государственный аграрный университет им. Н.И. Вавилова, Россия

E-mail: texmexium@mail.ru

Статья поступила 30 декабря 2016 г.

В статье совместно проанализированы литературные данные о зависимости внутреннего давления жидкостей от термодинамических параметров состояния и теоретические представления о природе внутреннего давления. Анализ позволил сформулировать гипотезу: величина температурного коэффициента внутреннего давления жидкости соответствует состоянию ее силового поля, а динамика этого коэффициента следует ходу изменения в макроскопическом силовом поле жидкости. Гипотеза послужила основанием для построения шкалы состояний собственного силового поля жидкостей. Для обоснования состоятельности этой шкалы, а следовательно и состоятельности сформулированной гипотезы, проведено тестирование шкалы по воде. Предложена единая шкала состояний силовых полей ассоциированных жидкостей.

DOI: 10.15372/JSC20170410

**Ключевые слова:** жидкости, внутреннее давление, шкала эволюции макроскопического поля.

### ВВЕДЕНИЕ

Межмолекулярные силы создают конденсированные среды и определяют их структуру. К сожалению, ни в одном эксперименте межмолекулярные силы не измеряют. Измеряют величины, функционально связанные с межмолекулярными силами, их перечень можно найти в монографии [ 1 ]. Из термодинамических параметров, являющихся источником информации о межмолекулярных взаимодействиях (ММВ), обратим внимание на внутреннее или статическое давление  $P_i$ . Уравнение выступает в роли определения  $P_i$  жидкофазных систем [ 2 ]

$$P_i = -(\partial U / \partial V)_T, \quad (1)$$

где  $U$  — внутренняя энергия системы, а  $V$  — ее объем. Термодинамика указывает способ вычисления внутреннего давления по данным эксперимента:

$$P_i = P - T \cdot (\partial P / \partial T)_V = P - \alpha T / \beta_T, \quad (2)$$

где  $P$  — гидростатическое давление в системе, а  $(\partial P / \partial T)_V$  — ее изохорный температурный коэффициент;  $\alpha = (1/V) \cdot (\partial V / \partial T)_P$  — термический коэффициент объемного расширения;  $\beta_T = -(\partial V / \partial P)_T / V$  — коэффициент изотермической сжимаемости. Уравнение (2) справедливо для гомогенных [ 2, 3 ], гетерогенных [ 4, 5 ] и микрогетерогенных [ 6 ] жидкофазных систем с по-

стоянным числом частиц (неизменным составом). В [ 7, 8 ] представлено решение задачи о введении термина "внутреннее давление" с позиции собственного силового поля жидкости. Показано, что внутреннее давление создается макроскопическим молекулярным силовым полем жидкофазной системы и равно силе, приложенной со стороны поля к условно (мысленно) выделенной внутри жидкости единичной и ортогональной векторам поля сил поверхности. Состояние стационарного макроскопического силового поля жидкости определим совокупным значением его сил взаимного отталкивания и взаимного притяжения структурных единиц жидкости. Этим силам поставим в соответствие  $U^{\text{от}}$  — потенциальную энергию отталкивания и  $U^{\text{пр}}$  — потенциальную энергию притяжения всех структурных единиц макросистемы. Такое разложение силового поля позволяет выразить внутреннее давление через сумму его составляющих [ 9 ]:

$$P_i = P_i^{\text{от}} + P_i^{\text{пр}}, \quad (3)$$

где  $P_i^{\text{от}} = -(\partial U^{\text{от}} / \partial V)_T$  — составляющая внутреннего давления, обусловленная силами взаимного отталкивания;  $P_i^{\text{пр}} = -(\partial U^{\text{пр}} / \partial V)_T$  — составляющая внутреннего давления, обусловленная силами взаимного притяжения. Отметим, что разложение внутреннего давления на "давление притяжения" и "давление отталкивания" впервые было предложено, видимо, Д.Г. Гильдебрандом [ 10 ]. Важно, что составляющие внутреннего давления имеют различные знаки:  $P_i^{\text{от}} > 0$ , а  $P_i^{\text{пр}} < 0$ . Конкуренцией этих двух сил (давлений отталкивания и притяжения) объясняются температурные и концентрационные зависимости  $P_i$  жидкофазных систем [ 9 ].

Межмолекулярные силы индивидуальны для каждой жидкофазной системы и являются функциями ее параметров состояния. Это наводило на мысль об использовании внутреннего давления в качестве термодинамической характеристики собственных силовых полей жидкостей и эволюции сил поля в результате изменения температуры ( $T$ ), давления ( $P$ ) и состава ( $X$ ) жидкофазных систем. Однако эксперимент показал, что все обстоит не так просто. Оказалось, что температурные зависимости внутреннего давления жидкостей, ассоциированных за счет водородной связи средней силы, проходят через минимум [ 7—9, 11, 12 ]. Значит, ассоциированные жидкости могут иметь одно и то же значение  $P_i$  при двух разных температурах. Минимум имеют и концентрационные зависимости  $P_i$  некоторых растворов [ 3, 13 ]. Следовательно, в общем случае, нет взаимно однозначного соответствия между внутренним давлением, с одной стороны, и параметрами состояния жидкостей — с другой. Изложенное препятствовало использованию величины  $P_i$  для идентификации состояния макроскопических силовых полей жидкостей.

Более адекватной характеристикой силовых полей является температурный коэффициент внутреннего давления ( $\partial P_i / \partial T$ ) [ 3, 9, 11, 14 ]. И этому есть объяснение. Дифференцируя уравнение (3) по температуре, выразим температурный коэффициент внутреннего давления через вклады в него температурных изменений давления сил взаимного отталкивания и давления сил взаимного притяжения структурных единиц жидкости:

$$(\partial P_i / \partial T) = (\partial P_i^{\text{от}} / \partial T) + (\partial P_i^{\text{пр}} / \partial T). \quad (4)$$

Учитывая природу внутреннего давления жидкостей, можно так выразить смысл коэффициента ( $\partial P_i / \partial T$ ): температурный коэффициент внутреннего давления — это величина реакции макроскопического силового поля жидкости на пренебрежимо малое возмущение его тепловым импульсом. Так как реакция поля на внешнее воздействие определяется его состоянием, то *коэффициент ( $\partial P_i / \partial T$ ) выступает в роли характеристики состояния собственного макроскопического силового поля жидкости*. Отметим следующее немаловажное преимущество коэффициента ( $\partial P_i / \partial T$ ) перед  $P_i$ . Вследствие того, что температурная зависимость внутреннего давления — это либо монотонно возрастающая функция (жидкости со слабой H-связью и ван-дер-ваальсовыми ММВ), либо функция с минимумом (жидкости, ассоциированные за счет H-связи средней силы), производная внутреннего давления ( $\partial P_i / \partial T$ ) =  $f(T)$  всегда является монотонной функцией. Из данных эксперимента [ 3, 14 ] следует, что и концентрационные зависимости ( $\partial P_i / \partial T$ ) =  $f(X)$  растворов также являются монотонными функциями. Поэтому между  $T$  и ( $\partial P_i / \partial T$ ),

Политермы внутреннего давления  $H_2O$  и  $D_2O$ , рассчитанные по данным работ [ 16—21 ]

а также между  $X$  и  $(\partial P_i / \partial T)$  существует взаимно однозначное соответствие.

Рассмотрим слагаемые правой части уравнения (4). Общие соображения о межмолекулярных взаимодействиях [ 1, 15 ] указывают на то, что все факторы, мешающие сближению молекул, приводят к ослаблению взаимодействия. Температура является одним из таких факторов. Поэтому, принимая во внимание знаки сил притяжения и отталкивания, получим, что

$$(\partial P_i^{\text{от}} / \partial T) < 0, \text{ а } (\partial P_i^{\text{пр}} / \partial T) > 0. \quad (5)$$

Учет неравенств (5) в уравнении (4) прогнозирует три ситуации:

- $(\partial P_i / \partial T) < 0$ , если  $|(\partial P_i^{\text{от}} / \partial T)| > |(\partial P_i^{\text{пр}} / \partial T)|$ , при этом  $P_i = f(T)$  убывающая функция;
- $(\partial P_i / \partial T) = 0$ , если  $|(\partial P_i^{\text{от}} / \partial T)| = |(\partial P_i^{\text{пр}} / \partial T)|$ , при этом  $P_i = f(T) = \text{const}$  или имеет экстремум;
- $(\partial P_i / \partial T) > 0$ , если  $|(\partial P_i^{\text{от}} / \partial T)| < |(\partial P_i^{\text{пр}} / \partial T)|$ , при этом  $P_i = f(T)$  возрастающая функция.

Все три ситуации реализуются в жидкостях [ 3, 9, 11, 13, 14 ]. Более того, в ассоциированных жидкостях осуществляется непрерывный переход одной ситуации в другую. Переход особенно нагляден для температурной зависимости внутреннего давления воды, представленной на рисунке, заимствованном из работ [ 7, 8 ]. Из этого рисунка видно, что от температуры плавления льда до  $\sim 160$  °C внутреннее давление воды — убывающая функция температуры, поэтому ее производная  $(\partial P_i / \partial T) < 0$ . С ростом температуры скорость убывания функции  $P_i = f(T)$  замедляется: коэффициент  $(\partial P_i / \partial T)$  растет, стремясь к нулевому значению. В области температур  $\sim(160—220)$  °C функция  $P_i = f(T)$  весьма слабо изменяется с температурой и проходит через минимум; при этом коэффициент  $(\partial P_i / \partial T)$  близок или равен (в минимуме) нулю. Дальнейшее повышение температуры приводит к тому, что  $P_i = f(T)$  становится возрастающей функцией, а коэффициент  $(\partial P_i / \partial T)$  продолжает расти, изменяя знак с минуса на плюс. В заключение комментария к функции  $P_i = f(T)$  воды напомним следующее:

— в воде с ростом температуры растет доля слабых H-связей [ 22 ];

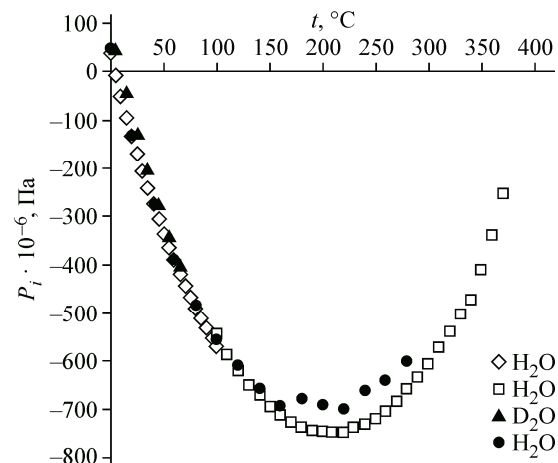
— положительные значения коэффициента  $(\partial P_i / \partial T)$  присущи жидкостям с ассоциацией молекул за счет ван-дер-ваальсовых взаимодействий и слабых H-связей (таких как бензол, четыреххlorистый углерод, *n*-алканы) [ 13 ].

Теперь, кажется, предъявлено достаточно доводов (экспериментальных и теоретических) для формулировки гипотезы: величина коэффициента  $(\partial P_i / \partial T)$  жидкости соответствует состоянию ее силового поля, а динамика этого коэффициента следует ходу развития изменений в макроскопическом силовом поле жидкости.

Проверкой гипотезы должно быть решение задачи об использовании коэффициента  $(\partial P_i / \partial T)$  для оценки состояния силового поля жидкостной системы. С этой целью далее строится термодинамическая шкала состояний макроскопического силового поля жидкости и проверяется состоятельность этой шкалы.

#### ПОСТРОЕНИЕ ШКАЛЫ СОСТОЯНИЙ СОБСТВЕННОГО СИЛОВОГО ПОЛЯ ЖИДКОСТЕЙ

Силовое поле жидкости при некоторых выбранных термодинамических параметрах состояния примем за эталон. Им может быть, например, поле жидкости при фазовом переходе кристаллической фазы в жидкую, т.е. поле образовавшейся (зародившейся) жидкости. Поле этой же жидкости при других термодинамических параметрах состояния примем за начало отсчета измерительной шкалы силового поля в данной конкретной задаче. Температурный коэф-



фициент внутреннего давления, соответствующий эталонному силовому полю, обозначим как  $(\partial P_i / \partial T)_{\text{эт}}$ , а соответствующий полю, выбранному за начало отсчета, как  $(\partial P_i / \partial T)_{\text{нач}}$ . Разницу

$$(\partial P_i / \partial T)_{\text{эт}} - (\partial P_i / \partial T)_{\text{нач}} = \Delta 1 \quad (6)$$

примем за единицу меры состояния силового поля жидкости, т.е. за масштаб измерительной шкалы.

За индекс эволюции примем величину

$$[(\partial P_i / \partial T) - (\partial P_i / \partial T)_{\text{нач}}] / \Delta 1 = I_{\text{ев}}. \quad (7)$$

Физический смысл безразмерной функции (7) состоит в том, что ее численное значение является показателем изменения (относительно эталона) состояния собственного макроскопического поля жидкости, т.е. является индексом эволюции поля ( $I_{\text{ев}}$ ). Из (7) с учетом (6) следует, что для эталонного силового поля  $I_{\text{ев}} = 1$ , а для поля, выбранного за начало отсчета,  $I_{\text{ев}} = 0$ . Если индекс эволюции поля  $I_{\text{ев}} > 1$ , то имеет место усиление, а при  $I_{\text{ев}} < 1$  — ослабление силового поля жидкости в сопоставлении с таковым эталона. Так как,  $\Delta 1 = \text{const}$  и  $(\partial P_i / \partial T)_{\text{нач}} / \Delta 1 = \text{const}$ , то  $I_{\text{ев}}$  как функция аргумента  $(\partial P_i / \partial T)$  является линейной; значит и измерительные шкалы, построенные по функции (7), будут линейными.

Рассмотрим процесс построения измерительной шкалы по уравнению (7) для воды и проверим адекватность шкалы.

### ИНДЕКСЫ ЭВОЛЮЦИИ СИЛОВОГО ПОЛЯ ВОДЫ

Возьмем в качестве объекта исследования воду при атмосферном давлении и температурах (0—100) °C. При этих условиях функция  $I_{\text{ев}}$  воды зависит только от одной переменной — температуры: обозначим это как  $I_{\text{ев}}(T)$ . Явный вид функциональной зависимости  $I_{\text{ев}}(T)$  можно определить по данным работы [9], где установлено, что температурные коэффициенты  $(\partial P_i / \partial T)$  ассоциированных жидкостей, в том числе и воды, изменяются по линейному закону в довольно широком интервале температур. Для воды в температурном интервале 0—100 °C температурный коэффициент

$$(\partial P_i / \partial T) = at + b, \quad (8)$$

где  $a = 0,05623 \cdot 10^6 \text{ Па}/(\text{°C})^2$ ;  $b = -8,859 \cdot 10^6 \text{ Па}/(\text{°C})^2$  [9];  $t$  — температура по шкале Цельсия. Решением дифференциального уравнения (8) является функция:

$$P_i = 0,5at^2 + bt + c, \quad (9)$$

где постоянная интегрирования  $c = 34,7 \cdot 10^6 \text{ Па}$  [9]. Для оценки интерполяционных качеств уравнения (9) был выполнен расчет  $P_i$  воды по уравнению (2) с использованием данных по  $\alpha$  и  $\beta_T$ , приведенных в табл. 5 и 6 работы [17]. Относительная погрешность такого расчета  $P_i$  не превосходит 1 %. Анализ расчетов  $P_i$  по уравнению (2) и по аппроксимации (9) позволил найти их коэффициент корреляции  $R^2 = 0,999$ .

Величину температурного коэффициента внутреннего давления воды при 0 °C примем за эталонное значение; в этом случае:

$$(\partial P_i / \partial T)_{\text{эт}} = b. \quad (10)$$

По уравнению (9) минимум функции  $P_i = f(T)$  воды приходится на 157,5 °C; в минимуме  $(\partial P_i / \partial T) = 0$ . Это значение температурного коэффициента внутреннего давления воды примем за начало отсчета шкалы состояний силового поля воды:

$$(\partial P_i / \partial T)_{\text{нач}} = 0. \quad (11)$$

Причина такого выбора проста: при выборе (11) уравнение (7) принимает предельно простой вид:

$$(\partial P_i / \partial T) / (\partial P_i / \partial T)_{\text{эт}} = I_{\text{ев}}. \quad (12)$$

Учитывая (8) и (10) в уравнении (12), получим температурную зависимость  $I_{\text{ев}}(T)$  воды в интервале 0—100 °C:

$$I_{\text{ев}}(T) = (at/b) + 1. \quad (13)$$

Из (13) следует, что с учетом указанных значений коэффициентов  $a$  и  $b$  индекс эволюции воды убывает по линейному закону от 1 при 0 °C до 0,37 при 100 °C (или от 100 до 37 %). Это означает, что *при оценке по шкале (7) силовое поле воды подходит к 100 °C с потерей 63 % от своего состояния при 0 °C*.

Проверим достоверность полученного результата, используя скалярную характеристику макроскопического силового поля жидкости — его потенциальную энергию ММВ структурных единиц жидкофазной системы, т.е.  $U^{\text{MMB}}$ . С этой целью примем  $U^{\text{MMB}}$  в качестве параметра состояния макроскопического силового поля жидкости. Затем построим по аналогии с изложенным в предыдущем параграфе измерительную шкалу на базе  $U^{\text{MMB}}$ . Эту шкалу выразит уравнение, подобное по математической форме, уравнению (7):

$$(U^{\text{MMB}} - U_{\text{нач}}^{\text{MMB}}) / (U_{\text{эт}}^{\text{MMB}} - U_{\text{нач}}^{\text{MMB}}) = I_{\text{ев}}(U^{\text{MMB}}), \quad (14)$$

где  $U^{\text{MMB}}$ ,  $U_{\text{нач}}^{\text{MMB}}$  и  $U_{\text{эт}}^{\text{MMB}}$  — энергии ММВ структурных единиц жидкости соответственно при некоторой текущей температуре, при температуре поля, выбранного за начало отсчета, и при температуре эталонного поля. Таким образом,  $I_{\text{ев}}(U^{\text{MMB}})$  — индекс эволюции собственного силового поля жидкости, выраженный через энергетическую характеристику поля  $U^{\text{MMB}}$ . Для воды за эталонное поле и поле начала отсчета выберем (как и ранее) поля при 0 и 157,5 °C соответственно. В справочнике [ 23 ] приведены данные по теплофизическим свойствам воды и ее пара на линии насыщения. Приведены, в частности, удельные теплоты испарения воды  $r$ . Удельная теплота испарения расходуется на изменение энергии ММВ 1 кг воды при фазовом превращении (жидкость → сухой насыщенный пар) и на работу расширения:

$$r = (U^{\text{MMB}})^{\prime\prime} - (U^{\text{MMB}})' + P \cdot (V'' - V'); \quad (15)$$

в уравнении (15) одинарным и двойным штрихами отмечены (как и в справочнике [ 23 ]) параметры жидкости и пара на линии насыщения соответственно. Сухой насыщенный пар будем моделировать газом Ван-дер-Ваальса. В этом случае

$$(U^{\text{MMB}})^{\prime\prime} = -a/V'', \quad (16)$$

где  $a$  — постоянная Ван-дер-Ваальса. Постоянную  $a$  водяного пара рассчитаем по критическим параметрам:  $a = 27 \cdot R^2 \cdot T_{\text{кр}}^2 / (64 \cdot P_{\text{кр}}) = 1,7 \text{ кДж} \cdot \text{м}^3 / \text{кг}^2$ . Решая уравнение (15) относительно  $(U^{\text{MMB}})' \equiv U^{\text{MMB}}$  с учетом (16), получим:

$$U^{\text{MMB}} = -[(r + a/V'') - P \cdot (V'' - V')]. \quad (17)$$

Для воды все параметры уравнения (17) известны [ 23 ]. Это позволило рассчитать для нее  $U_{\text{нач}}^{\text{MMB}}$ ,  $U_{\text{эт}}^{\text{MMB}}$  и при 100 °C  $U^{\text{MMB}}$ , а затем найти по уравнению (14)  $I_{\text{ев}}(U^{\text{MMB}})$  при 100 °C:  $I_{\text{ев}}(U^{\text{MMB}}) = 0,39$  или 39 %. Полученный результат означает, что *при оценке по шкале (14) силовое поле воды подходит к 100 °C с потерей 61 % от своего состояния при 0 °C*.

Итак, оценки потерь по данным о внутреннем давлении по шкале (7), 63 %, и по данным об энергии ММВ по шкале (14), 61 %, очень хорошо совпадают. Это является подтверждением адекватности предложенной интерпретации уравнения (7) и состоятельности высказанной выше гипотезы.

### ШКАЛА СОСТОЯНИЙ СИЛОВЫХ ПОЛЕЙ АССОЦИИРОВАННЫХ ЖИДКОСТЕЙ

На первый взгляд кажется, что термодинамическая шкала состояний силового поля жидкости (7) индивидуальна для каждой жидкофазной системы. Но это не так. Чтобы убедиться в этом, рассмотрим уравнение (7) внимательнее. Его структура такова, что однозначный расчет  $I_{\text{ев}}$  возможен только при задании фиксированных значений двух параметров:  $(\partial P_i / \partial T)_P^{\text{нач}}$  и  $(\partial P_i / \partial T)_P^{\text{эт}}$ . При этом выбор величин  $(\partial P_i / \partial T)_P^{\text{нач}}$  и  $(\partial P_i / \partial T)_P^{\text{эт}}$  весьма свободен. Кроме того, обратим внимание на связь (6) между указанными постоянными параметрами уравнения (7). С учетом связи (6) можно из трех постоянных параметров  $(\partial P_i / \partial T)_P^{\text{нач}}$ ,  $(\partial P_i / \partial T)_P^{\text{эт}}$  и  $\Delta 1$  задать любые два, и в этом случае уравнение (7) будет иметь однозначное решение. Воспользуемся

свободой выбора указанных постоянных параметров с целью преобразования шкалы (7) не только к предельно простому виду, но и к единому уравнению для расчета  $I_{\text{ев}}$  всех ассоциированных жидкокомплексных систем.

Общей особенностью температурных зависимостей внутреннего давления ассоциированных жидкостей является то, что кривые их политерм  $P_i(T)$  обращены вогнутостью вверх и имеют минимум [9]. В минимуме частная производная  $(\partial P_i / \partial T)_P = 0$ . Это делает физически оправданным следующий выбор начала отсчета измерительной шкалы ассоциированных жидкостей:

$$(\partial P_i / \partial T)_P^{\text{нач}} = 0. \quad (18)$$

В этом случае уравнение (6) принимает вид:

$$(\partial P_i / \partial T)_P^{\text{ст}} = \Delta 1. \quad (19)$$

Масштабную единицу мы вправе выбрать произвольно. Примем ее равной величине  $(\partial P_i / \partial T)_P^{\text{ст}}$  воды при 0°C и давлении 760 мм рт. ст.:

$$\Delta 1 = -8,859 \cdot 10^6 \text{ Па} \cdot \text{K}^{-1}. \quad (20)$$

Выбор (20) масштабной единицы и согласно (19) эталонного силового поля обязан жизненно важному значению воды и ее растворов. Подставляя (19) и (20) в выражение индекса эволюции (7), найдем индекс эволюции силового поля ассоциированных жидкокомплексных систем:

$$I_{\text{ев}} = -[(\partial P_i / \partial T)_P / 8,859] \cdot 10^{-6}. \quad (21)$$

Уравнение (21) эквивалентно уравнению (12), которое было получено специально для расчета  $I_{\text{ев}}$  воды. Теперь приведено обоснование общности этого уравнения для всех ассоциированных жидкокомплексных систем.

Авторы признательны проф. Ю.И. Наберухину за интерес и полезные замечания при обсуждении работы.

Работа выполнена при финансовой поддержке Российского фонда фундаментальных исследований, проект № 15-03-99704.

#### СПИСОК ЛИТЕРАТУРЫ

1. Каплан И.Г. Межмолекулярные взаимодействия. Физическая интерпретация, компьютерные расчеты и модельные потенциалы. – М.: БИНОМ. Лаборатория знаний, 2014.
2. Мелвин-Хьюз Э.А. Физическая химия. – М.: Иностр. лит., 1962. – 1148 с. (Moelwyn-Hughes E.A. Physical Chemistry. – L., N.Y., Paris: Pergamon Press, 1961.)
3. Карцев В.Н., Родникова М.Н., Штыков С.Н., Бартел Й. // Журн. физ. химии. – 2003. – **77**, № 8. – С. 1456.
4. Сторонкин А.В., Смирнова Н.А. // Журн. физ. химии. – 1962. – **36**, № 9. – С. 1963.
5. Сторонкин А.В. Термодинамика гетерогенных систем. Ч.3. – Л.: ЛГУ, 1969.
6. Карцев В.Н., Полихрониди Н.Г., Батов Д.В., Штыков С.Н., Степанов Г.В. // Журн. физ. химии. – 2010. – **84**, № 2. – С. 220.
7. Карцев В.Н., Штыков С.Н., Панкин К.Е., Батов Д.В. // Мониторинг. Наука и технологии. – 2012. – № 2. – С. 65.
8. Карцев В.Н., Штыков С.Н., Панкин К.Е., Батов Д.В. // Журн. структур. химии. – 2012. – **53**, № 6. – С. 1114.
9. Карцев В.Н. // Журн. структур. химии. – 2004. – **45**, № 5. – С. 877.
10. Гильдебранд Д.Г. Растворимость неэлектролитов. – М.: Редакция хим. лит-ры ГОНТИ НКТП, 1938.
11. Карцев В.Н., Родникова М.Н., Бартел Й., Штыков С.Н. // Журн. физ. химии. – 2002. – **76**, № 6. – С. 1016.
12. Карцев В.Н., Родникова М.Н., Штыков С.Н. // Журн. структур. химии. – 2004. – **45**, № 1. – С. 94.
13. Карцев В.Н., Родникова М.Н., Штыков С.Н. // Журн. структур. химии. – 2004. – **45**, № 1. – С. 99.
14. Карцев В.Н., Штыков С.Н., Штыкова Л.С. // Коллоид. журн. – 2005. – **67**, № 4. – С. 479.
15. Шахпаронов М.И. Введение в современную теорию растворов. – М.: Высшая школа, 1976.
16. Рабинович И.Б. Влияние изотопии на физико-химические свойства жидкостей. – М.: Наука, 1968.
17. Fine R.A., Millero F.I. // J. Chem. Phys. – 1973. – **59**, N 10. – P. 5529.
18. Карцев В.Н., Самойлов О.Я., Забелин В.А. // Журн. физ. химии. – 1979. – **53**, № 3. – С. 757.
19. Millero F.I., Lepple F.K. // J. Chem. Phys. – 1971. – **54**, N 3. – P. 946.
20. Амирханов Х.И., Степанов Г.В., Алибеков Б.Г. Изохорная теплоемкость воды и водяного пара. – Махачкала: АН СССР, Дагестанский филиал, 1969.
21. Ривкин С.А., Александров А.А., Кременёвская Е.А. Термодинамические производные для воды и водяного пара. – М.: Энергия, 1977.
22. Ефимов Ю.Я., Наберухин Ю.И. // Журн. структур. химии. – 2000. – **41**, № 3. – С. 532.
23. Варгафтик Н.Б. Справочник по теплофизическим свойствам газов и жидкостей. – М.: Наука, 1972.